

# CuGaS<sub>2</sub> 結晶のトイキオメトリからのはれと光学的特性

大家 明広\*・矢木 正和\*\*・飯田 誠之\*

Optical studies of off-stoichiometry of CuGaS<sub>2</sub> crystals

Akihiro OOE, Masakazu YAGI and Seishi IIDA

PAS and photoluminescence studies were made for various undoped and Zn-doped CuGaS<sub>2</sub> crystals prepared by iodine transport method. The results are discussed in terms of growth and heat-treating conditions which are considered to govern the stoichiometry of the crystals. The PAS spectrum consists of the band-to-band absorption and a broad band absorption extending from 550 to 800 nm. The latter PA signal is large for crystals having a high possibility of existence of Ga vacancies and small or non-existent for Zn-doped crystals and crystals heat-treated under saturated Ga vapor at growth temperature. This signal corresponds to the absorption which was reported by several authors and is believed to be related to some kind of off-stoichiometry of the crystal. These results seem to indicate that this off-stoichiometry giving the PA signal mentioned above is due to Ga vacancy. The photoluminescence appeared at 1.44 eV for crystals heat-treated under saturated Ga vapor. This emission was not detected for crystals having a high possibility of existence of Ga vacancies. These results suggest a possible relation to Cu vacancies as the origin of this emission.

**Key words:** CuGaS<sub>2</sub>/ Off-stoichiometry/Vacancy/ PAS/ Photoluminescence

## 1. はじめに

CuGaS<sub>2</sub>は、室温で2.43 eVのバンドギャップをもち、p型導電性を示す半導体であり、緑色LEDや半導体レーザのp型材料への応用の可能性をもっている。しかし、CuGaS<sub>2</sub>は三元化合物であるうえに、複雑なカルコバライライト構造<sup>1)</sup>をしているので、空孔などの格子欠陥ができやすく、トイキオメトリックな結晶は得にくい。そして、たとえば、結晶の色について、黒色、緑色、黄色、橙色、赤色などが報告されているが<sup>1),2),3)</sup>、これらの色の違い、すなわち光学的特性の違いは、トイキオメトリからのはれによると考えられている。

CuGaS<sub>2</sub>を発光素子に応用するためには、トイキオメトリからのはれ（格子欠陥）と光学的特性との関係を明らかにする必要がある。今回は、成長条件の異なる結晶などのPASスペクトルやフォトルミネッセンスを比較し、Ga空孔やCu空孔と光学的特性との関係を検討したので報告する。

原稿受付：昭和61年4月1日

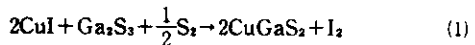
\* 長岡技術科学大学電気系

\*\* 同、現在ネッスル株式会社

## 2. 結晶成長と測定

### 2.1 結晶成長

実験に用いた結晶は、すべてヨウ素輸送法<sup>4)</sup>によって作製した。成長条件は、石英アンプルの形状が内径12 mm、長さ150 mm、封入時の真空度は $4 \times 10^{-6}$  Torr程度、温度は原料側約900°C、成長側約700°C、期間は3~4日間である。原料の仕込量はTable 1に示す。No.81-4の結晶は小黒<sup>5)</sup>が作製したものであり、Gaの一部をZnでおきかえて仕込んでいるNo. S 30729-2の結晶(CuGa<sub>0.985</sub>Zn<sub>0.015</sub>S<sub>2</sub>:仕込組成)は川口ら<sup>6)</sup>が作製したものである。No.860225-1の結晶は、No.81-4の結晶に比べてヨウ素の仕込量が少ないが、これは、ヨウ素輸送法で結晶ができる反応は次式で表わされると考えられているので、<sup>7)</sup>



ヨウ素の仕込量を少なくすることによってCuの輸送を抑制し、No.81-4の結晶よりGa-richの結晶を作製しようと試みたものである。ただし、この報告では、Ga-richとは、Ga格子間原子、あるいはCu空孔が結晶の光学的

Table I Preparation conditions.

Sample No.	Sample	Charges
81-4	brown CuGaS <sub>2</sub>	Cu <sub>2</sub> S 0.0025mol Ga <sub>2</sub> S <sub>3</sub> 0.0025mol I 425mg 25mg/cc
S30729-2	brown CuGa <sub>0.985</sub> Zn <sub>0.015</sub> S <sub>2</sub>	Cu 318mg 0.005mol Ga 343mg 0.00493mol Zn 5mg 0.00007mol S 321mg 0.01mol I 425mg
860225-1	yellow green CuGaS <sub>2</sub>	Cu 0.004mol CuI 0.001mol Cu 64mg Ga <sub>2</sub> S <sub>3</sub> 0.0025mol I 127mg S 0.0025mol

特性に影響を及ぼす程度に存在する状態という意味で用い、Cu-richとは、Cu格子間原子、あるいはGa空孔が光学的特性に影響を及ぼす程度に存在する状態という意味で用いている。

ヨウ素は、飽和蒸気圧がたいへん高く、真空封入時にポンプで引き出されて減少する可能性があるので、それを防ぐために、No.860225-1ではCuIの形で仕込んだ。

それぞれの結晶の色は、No.81-4が暗いあめ色、No.S30729-2は明るいあめ色、No.860225-1は透明感のある黄緑色である。

なお、測定には、(Table 1には示していないが) No.81-4の結晶と同じ仕込量で作製した結晶(No.860301-3)をGa雰囲気中で熱処理したものも用いた。熱処理は、結晶を飽和蒸気圧に達するのに十分な量のGaとともに $4 \times 10^{-6}$  Torr程度の真空中で封入し、700°Cで4日間行なった。No.860301-3の結晶の色は、熱処理前が暗いあめ色、熱処理後は赤色である。

## 2.2 測 定

Fig.1にPAS(光音響分光法)の測定系を示す<sup>6</sup>。Xeランプの出力は75W、グレーティング分光器の分解能(PASスペクトルの分解能)は35nmである。また、マイクロホンとロックインアンプとの整合をとるために、ロックインアンプ用トランスを挿入している。チョッパーの周波数は、この系でPA Signalが最大となる140Hzを用いた。

フォトルミネッセンスは、励起光源として超高压Hgランプ(出力100W、波長365nm)を用い、液体窒素温度(77K)で測定した。測定系は、小黒らの報告<sup>7</sup>および本多らの報告<sup>8</sup>と同じであり、分解能は3.2nmである。

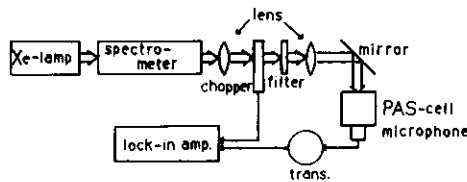


Fig. 1 Schematic arrangement of apparatus for Photo Acoustic Spectroscopy.

## 3 結 果

### 3.1 PASスペクトル

Fig.2に、あめ色のCuGaS<sub>2</sub>(No.81-4)と黄緑色のCuGaS<sub>2</sub>(No.860225-1)のPASスペクトルを示す。CuGaS<sub>2</sub>の室温でのバンドギャップ2.43eV(510nm)より短波長側ではPA Signalが高く、長波長側ではPA Signalが低いことがわかる。510nmより短波長側のSignalは、バンド間の吸収に対応するものであり、我々は、510nmから長波長側の領域のSignalについて検討するつもりである。Fig.2では、550~800nmの領域のPA Signalは、あめ色結晶に比べて黄緑色結晶の方が低くなっている。

Fig.3に、あめ色結晶(No.860301-3)のGa熱処理前のPASスペクトルを、また、Fig.4には、あめ色CuGaS<sub>2</sub>(No.81-4)とCuGa<sub>0.985</sub>Zn<sub>0.015</sub>S<sub>2</sub>(No. S 30729-2)のPASスペクトルを示す。Fig.3では、熱処理前の結晶に比べてGa熱処理後の結晶の方が、また、Fig.4では、あめ色CuGaS<sub>2</sub>に比べてCuGa<sub>0.985</sub>Zn<sub>0.015</sub>S<sub>2</sub>の方が、550~800nmの領域のSignalが低い。

### 3.2 フォトルミネッセンス

Fig.5、6にあめ色結晶(No.860301-3)とそれをGa熱処理した結晶のフォトルミネッセンスを、また、Fig.7には、黄緑色結晶のフォトルミネッセンスを示す。あめ色結晶に見られる2.25eV付近の緑色発光が、Ga熱処理後の結晶や黄緑色結晶には見られない。また逆に、あめ色結晶には見られない1.44eV付近の発光が、Ga熱処理後の結晶や黄緑色結晶には現われており、さらに、その発光は、Ga熱処理後の結晶の方が黄緑色結晶よりも強度である。なお、黄緑色結晶には、2.488eV(498nm)に弱い発光も見られる。

## 4. 検 討

### 4.1 PASスペクトル

Fig.2~4では、550~800nmの領域のPA Signalは、あめ色CuGaS<sub>2</sub>に比べて、黄緑色CuGaS<sub>2</sub>やGa熱処理したCuGaS<sub>2</sub>、そしてCuGa<sub>0.985</sub>Zn<sub>0.015</sub>S<sub>2</sub>の方が低くかった。この領域では、小黒<sup>9</sup>があめ色CuGaS<sub>2</sub>で領域全体

CuGaS<sub>2</sub>結晶のストイキオメトリからずれと光学的特性

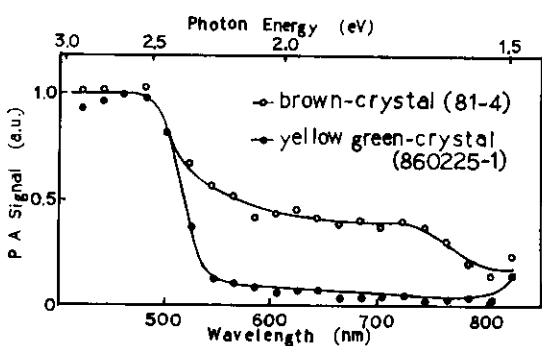


Fig. 2 PAS spectra of brown and yellow green CuGaS<sub>2</sub> crystals.

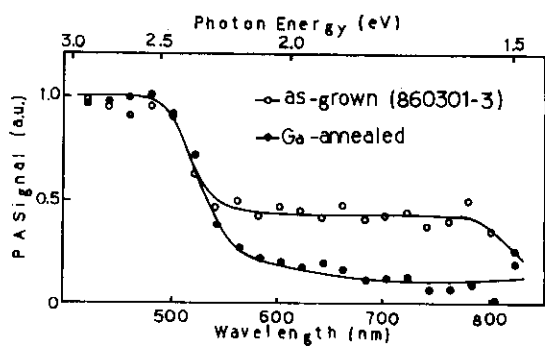


Fig. 3 PAS spectra of as-grown and Ga-annealed CuGaS<sub>2</sub> crystals.

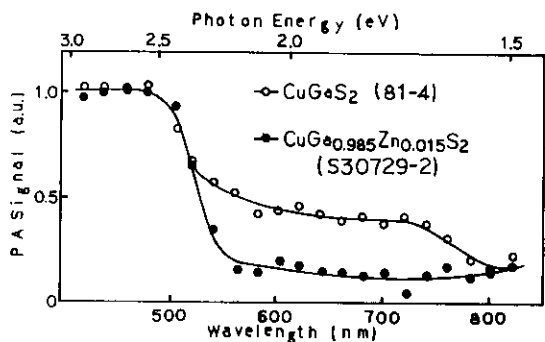


Fig. 4 PAS spectra of brown CuGaS<sub>2</sub> and CuGa<sub>0.985</sub>Zn<sub>0.015</sub>S<sub>2</sub> crystals.

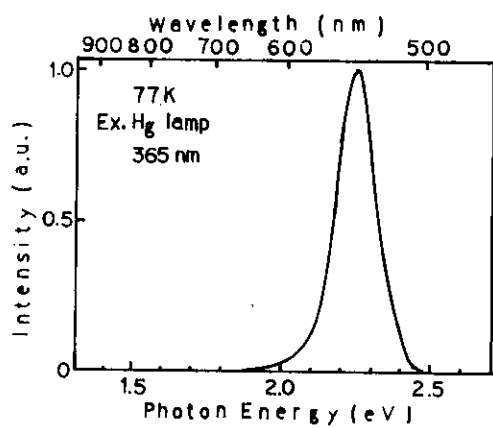


Fig. 5 Photoluminescence of a brown CuGaS<sub>2</sub> crystal (860301-3).

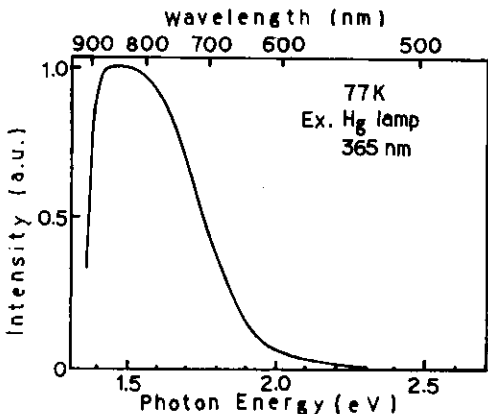


Fig. 6 Photoluminescence of a Ga-annealed CuGaS<sub>2</sub> crystal.

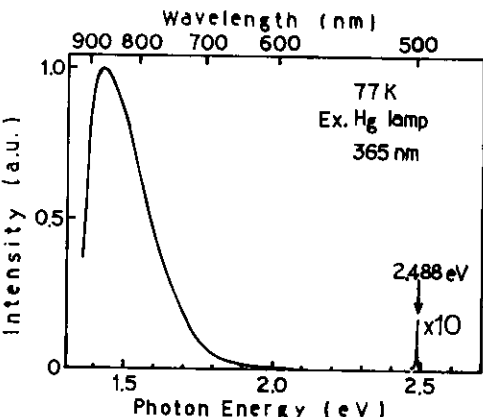


Fig. 7 Photoluminescence of a yellow green CuGaS<sub>2</sub> crystal (860225-1).

にわたるプロードな光学吸収バンドを観測しており、 $700^{\circ}\text{C}$ 、 $3.5\text{ atm}$ のS熱処理(飽和蒸気圧は約 $20\text{ atm}$ )でさらに顕著になると報告している(Fig. 8)。この領域には、Feによる吸収が存在するという報告<sup>9)</sup>もあるが、小黒は、吸収係数の大きさから推定される量のFeをEPMA分析や炎光分光分析からは検出していない<sup>4)</sup>。Yamamotoら<sup>2)</sup>も、小黒と同様の吸収バンドを観測しているが、彼らは、 $\text{Cu}_{2}\text{S}-\text{rich}$ の条件で作製した黒色結晶でそれが顕著であり、また $\text{Fe}^{3+}$ ESR線は観測されない。

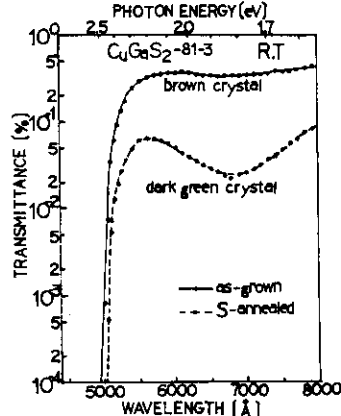


Fig. 8 Transmission spectra of as-grown and S-annealed  $\text{CuGaS}_2$  crystals (by Y. Oguro).

で、その吸収バンドはストイキオメトリからのずれによるものであろうと報告している。これらのことから、小黒があめ色  $\text{CuGaS}_2$ で観測した吸収バンドは、Ga空孔かS空孔に関係していると思われる。今回、結晶によるSignalの差が観測された $550\text{~}800\text{ nm}$ の領域のPASスペクトルは、このストイキオメトリからのずれによる吸収バンドに対応していると考えられ、4.3で詳しく述べるが、 $\text{Cu-rich}$ のあめ色結晶でSignalが高く、また、ほぼストイキオメトリに近いと思われる黄緑色結晶やGa熱処理した結晶でSignalが低いことから、この吸収がGa空孔に関係したものであると考えられる。

$\text{CuGa}_{0.985}\text{Zn}_{0.015}\text{S}_2$ については、川口ら<sup>5)</sup>は、Znの一部がGaサイトに入っていると考えられると報告しており、上述の領域のPA Signalが低いことと矛盾しない。Znを添加したこの結晶の色が、 $\text{Cu-rich}$ と思われる  $\text{CuGaS}_2$ (後述)とほぼ同じあめ色なのは、組成的には $\text{Cu-rich}$ だからであろう。

#### 4.2 フォトルミネッセンス

Fig. 5に見られる緑色発光は、ピークエネルギーが $2.25\text{ eV}$ 、半値幅は $0.15\text{ eV}$ である。これは、川口<sup>10)</sup>がGa

空孔とS空孔によるDAペア発光であろうと報告しているものとピークエネルギー、半値幅ともに一致しており、同一のものと考えられる。あめ色結晶でGa空孔に関係したDAペア発光が現われ、Ga熱処理した結晶や黄緑色結晶では現われていないことは、PASスペクトルの結果と矛盾しない。

Fig. 6に見られる赤外発光は、Fig. 7の赤外発光よりプロードである。Höblerら<sup>11)</sup>は、Gaの過剰によって $1.7\text{--}1.8\text{ eV}$ の領域に半値幅 $0.3\text{ eV}$ の発光が現われることを報告しているが、Ga熱処理した結晶に見られる赤外発光が、黄緑色結晶に見られる赤外発光とHöblerらの報告している発光が重なったものか、それとも黄緑色結晶に見られる赤外発光が単にプロードになったものは、現在のところわからない。

Fig. 7に見られる赤外発光は、ピークエネルギー $1.44\text{ eV}$ 、半値幅 $0.22\text{ eV}$ であり、小黒ら<sup>6)</sup>が報告しているピークエネルギー $1.45\text{ eV}$ 、半値幅 $0.227\text{ eV}$ の発光に近い。この付近に現われる発光についての報告はほかにはないようなので、黄緑色結晶に見られる赤外発光は、小黒らの報告したものと同一であると思われるが、小黒らは、その発光をあめ色結晶で観測しており、我々のあめ色結晶(No.860301-3)では観測されていないことと矛盾している。この発光について、小黒<sup>6)</sup>は、あめ色結晶では観測されるが暗緑色結晶では観測されないと報告している。4.3に述べるように、黄緑色の結晶はやや $\text{Cu-rich}$ 、暗緑色の結晶はかなり $\text{Cu-rich}$ と考えられるが、この赤外発光が、小黒のあめ色結晶やGa熱処理した結晶、そして黄緑色結晶に見られることから、Cu空孔に関係している可能性がある。

なお、Fig. 7に見られる弱い緑色発光は、ピークエネルギーが $2.488\text{ eV}$ (498 nm)であり、Bardelebenら<sup>12)</sup>が報告しているピークエネルギー $2.486\text{ eV}$ (498.6 nm)の束縛励起子発光と同一のものであると考えられる。

#### 4.3 ストイキオメトリからのずれと結晶の色

$\text{CuGaS}_2$ 結晶の色に関して、Shayら<sup>8)</sup>は、融液成長法により得た結晶について、その格子定数から、緑色結晶はストイキオメトリックで橙色結晶は $\text{Ga}_2\text{S}_3$ -richであると報告しており、一方Yamamotoら<sup>2)</sup>は、ヨウ素輸送法による結晶について、成長条件と反射スペクトルとの対応から、黒色結晶は $\text{Cu}_2\text{S}-\text{rich}$ 、赤色結晶は $\text{Ga}_2\text{S}_3$ -richで、黄色結晶がこれらのうちで最もストイキオメトリに近いと報告している。これらの報告と、今回、あめ色結晶をGa熱処理して赤色結晶を得たこと、また $\text{CuGaS}_2$ の室温でのバンドギャップが $2.43\text{ eV}$ (510 nm)であること

などを考え合わせると、透明感のある緑色結晶が最もストイキオメトリに近く、Ga-rich の程度が高くなるにしたがって、黄色、橙色、赤色になると考えられる。黄緑色結晶はやや Ga-rich ではあるがほぼストイキオメトリックでありあめ色結晶は、ヨウ素の仕込量が黄緑色結晶の場合より多いのでヨウ素輸送法の反応式(1)から考えて、Cu-rich であると思われる。しかし、小黒<sup>4)</sup>は、あめ色結晶を S 熱処理して Ga 空孔に関係した吸収が顕著な暗緑色結晶を得たと報告しており (Fig. 8)，あめ色結晶は、暗緑色結晶や黒色結晶に比べて、Ga 空孔が少ない、つまり Cu-rich の程度がわずかであると考えられる。

## 5. 結論

あめ色 CuGaS<sub>2</sub>、黄緑色 CuGaS<sub>2</sub>、Ga 熱処理した赤色 CuGaS<sub>2</sub>、そして Ga の一部を Zn でおきかえて仕込んで作製した CuGa<sub>0.985</sub>Zn<sub>0.015</sub>S<sub>2</sub>について、PAS スペクトルとフォトルミネッセンスを測定し比較した。550~800 nm の領域には、ストイキオメトリからのずれによると考えられる光学吸収バンドが報告されているが<sup>2), 4)</sup>、測定した PAS スペクトルを比較すると、この領域の PA Signal は、Cu-rich のあめ色結晶より、ストイキオメトリに近い黄緑色結晶や Ga-rich の赤色結晶、そして CuGa<sub>0.985</sub>Zn<sub>0.015</sub>S<sub>2</sub>の方が低かった。したがって、上述の光学吸収バンドは、Ga 空孔に関係したものであると考えられる。

フォトルミネッセンスの比較では、Ga 空孔に関係すると報告されている<sup>10)</sup> ピークエネルギー 2.25 eV、半値幅 0.15 eV の DA ペア発光が、Cu-rich のあめ色結晶にのみ見られた。この結晶の PAS スペクトルは、上述の Ga 空孔に関係した吸収に対応していると考えられる傾

域で、ほかの結晶に比べて Signal が高く、PAS スペクトルとフォトルミネッセンスとの対応があった。また、黄緑色結晶や赤色結晶に見られる赤外発光については、Cu 空孔が存在している可能性の高い結晶に見られるので、Cu 空孔に関係している可能性がある。

## 6. 謝辞

本研究で、結晶成長における石英細工を御指導いただいた電気系技官の片桐さんに感謝します。また、本報告作成にあたって、たいへん助力してくれた本研究室の會持君と神津君に感謝します。

## 参考文献

- 1) 田中省作、川見繁、小林洋志、笹倉博：応用物理 **46** 840 (1977).
- 2) Nobuyuki Yamamoto, Noburo Tohge and Takeshi Miyauchi : Jpn. J. Appl. Phys. **14** 192 (1975).
- 3) J. L. Shay, P. M. Bridenbaugh and H. M. Kasper : J. Appl. Phys. **45** 4491 (1974).
- 4) 小黒洋一：長岡技科大修士論文 (1982).
- 5) 川口浩、稻垣積、飯田誠之：長岡技科大研究報告 第 6 号 1 (1984).
- 6) 矢木正和：長岡技科大課題研究報告 (1986).
- 7) 小黒洋一、飯田誠之：長岡技科大研究報告 第 3 号 37 (1981).
- 8) 本多仁、小黒洋一、飯田誠之：長岡技科大研究報告 第 4 号 13 (1982).
- 9) Teruo Teranishi, Katsuaki Sato and Kenichi Kondo : J. Phys. Soc. Japan **36** 1618 (1974).
- 10) 川口浩：長岡技科大修士論文 (1985).
- 11) H. J. Höbler, G. Kühn and A. Tempel : J. Crystal Growth **53** 451 (1981).
- 12) J. Von Bardeleben, B. Meyer, A. Goltzene and C. Schwab : Journal De Physique **35 C 3-165** (1974).